

УДК 624.04

Серазутдинов М.Н. – доктор физико-математических наук, профессор

E-mail: serazmn@mail.ru

Убайдуллоев М.Н. – кандидат технических наук, доцент

E-mail: madgidpwn@rambler.ru

Казанский национальный исследовательский технологический университет

Адрес организации: 420015, Россия, г. Казань, ул. К. Маркса, д. 68

Расчет стержневых конструкций из упрочняющихся и идеально упругопластических материалов

Аннотация

Постановка задачи. Цель работы – разработка вариационного метода расчета стержневой конструкции с учетом пластических деформаций. Предполагается, что при деформировании стержней связь между нормальными напряжениями и продольной деформацией стержня описывается диаграммой линейно-упрочняющего тела.

Результаты. Разработан вариационный метод расчета стержневых конструкций из упрочняющегося и идеально упругопластического материала. Представленная методика расчета основана на разделении продольной деформации стержня на две части: упругую и пластическую. Достоинства такого подхода заключаются в том, что можно по единой схеме проводить расчеты для стержневых конструкций из упрочняющегося и идеально упругопластического материала. В частности, эти достоинства проявляются при определении предельной нагрузки для системы из идеально упругопластического материала.

Выводы. С использованием предлагаемой методики решены различные задачи изгиба и растяжения-сжатия стержней при упругопластических деформациях. В данной статье представлены результаты расчетов статически неопределимой стержневой системы. Полученные расчетные данные по данному методу согласуются с аналитическими решениями рассматриваемой задачи.

Ключевые слова: стержневые конструкции, вариационный метод, упругопластические деформации, предельная нагрузка.

Излагается вариационный метод расчета стержневой конструкции с учетом пластических деформаций. Предполагается, что при деформировании стержней связь между нормальными напряжениями и продольной деформацией стержня описывается диаграммой линейно-упрочняющего тела. В отличие от исследований [1-9] представленная методика расчета основана на разделении продольной деформации стержня на две части: упругую и пластическую. Достоинства такого подхода заключаются в том, что можно по единой схеме проводить расчеты для стержневых конструкций из упрочняющегося и идеально упругопластического материала. В частности, эти достоинства проявляются при определении предельной нагрузки для системы из идеально упругопластического материала. В случае использования традиционных методик расчета, информацию о величине предельной нагрузки получают только на основе аварийного останова компьютерного счета. При использовании представленной методики, можно определять предельную нагрузку на основе графической информации, получающейся в результате расчетов.

Предполагается, что при упругопластическом деформировании элементов стержневой системы преобладающими являются возникающие в поперечных сечениях нормальные напряжения σ_x . Следовательно, представленные результаты применимы в случаях, когда элементы системы в виде стержней испытывают деформацию растяжения-сжатия и изгиба. В этих случаях, как известно, нормальные напряжения σ_x в поперечных сечениях значительно больше касательных τ .

Диаграмма линейно-упрочняющего тела показана на рис. 1. Модуль упругости материала при упругих деформациях (участок OA на рис. 1) обозначим через E , а при упругопластических деформациях (участок AB) – E_k .

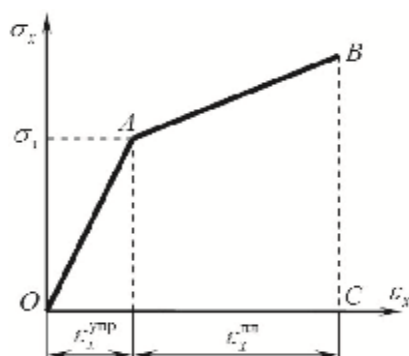


Рис. 1. Диаграмма $s_x = f(e)$

Представим продольную деформацию стержня ϵ_x в виде суммы:

$$e_x = e_x^{yup} + e_x^{nl}, \tag{1}$$

где e_x^{yup} , e_x^{nl} – соответственно, упругая и пластическая деформаций.

Введем коэффициент α , определяющий части этих деформаций:

$$e_x^{yup} = \alpha e_x, \quad e_x^{nl} = (1 - \alpha) e_x. \tag{2}$$

Как видно из рис. 1:

$$s_T = E e_x^{yup} = E \alpha e_x, \tag{3}$$

следовательно:

$$\alpha = \sigma_T / (E \epsilon_x), \tag{4}$$

Очевидно, что при $\epsilon_x < 0$, $\alpha = \sigma_T / (E |\epsilon_x|)$.

Если деформации являются упругими, то $\alpha = 1$ и зависимость между нормальными напряжениями и деформациями выражается законом Гука $s_x^{yup} = E e_x^{yup}$. При упругопластических деформациях ($\alpha < 1$), как видно из рис. 1:

$$s_x = s_T + E_k (e_x - e_x^{yup}).$$

Подставляя в эту формулу соотношения (1), (2), получим:

$$\sigma_x = E^* \epsilon_x, \tag{5}$$

где

$$E^* = E \alpha + E_k (1 - \alpha). \tag{6}$$

Значение приведенного модуля упругости материала E^* зависит от величины деформации ϵ_x . При упругих деформациях $\alpha = 1$, а при упругопластических деформациях $\alpha < 1$ и определяется по формуле (4). В тех случаях, когда величина ϵ_x заранее не известна, для нахождения α следует использовать итерационный метод, последовательно определяя ϵ_x и α .

В случае $E_k = 0$, деформирование материала описывается диаграммой идеально упругопластического тела. Формула (5) для этого случая имеет вид:

$$\sigma_x = E \epsilon_x \alpha. \tag{7}$$

При упругих деформациях касательные напряжения связаны с угловой деформацией законом Гука при сдвиге: $\tau^{yup} = G \gamma^{yup}$, где G – модуль сдвига. Как известно при растяжении прямолинейного стержня зависимость между углом сдвига γ и относительной линейной деформацией ϵ_x имеет следующий вид:

$$\gamma = (1 + \nu) \epsilon_x. \tag{8}$$

Касательное напряжение на площадке, составляющей угол $\alpha = 45^\circ$ с продольной осью стержня O_x , связаны с нормальными напряжениями σ_x формулой:

$$\tau = \sigma_x / 2. \tag{9}$$

С учетом (8)-(9), как известно, получается $G = E / 2(1 + \nu)$.

Соотношения (8) и (9) являются геометрическими и не зависят от того, что деформации являются упругими или пластическими.

Исходя из этого, с учетом (5)-(6), полагаем, что при упругопластических деформациях:

$$\tau = G^* \gamma, \tag{10}$$

где $G^* = \frac{E}{2(1+n)}a + \frac{E_k}{2(1+n^*)}(1-a)$; v^* – коэффициент поперечных деформаций материала при упругопластических деформациях.

В соответствии с диаграммой растяжения (рис. 1), удельная потенциальная энергия деформации стержня при растяжении и сжатии равна площади фигуры $OABC$:

$$u_0 = \frac{1}{2} s_x^{ypp} e_x^{ypp} + s_T e_x^{nn} + \frac{1}{2} s_x^{nn} e_x^{nn} = \frac{1}{2} E (e_x^{ypp})^2 + s_T e_x^{nn} + \frac{1}{2} E_k (e_x^{nn})^2.$$

С учетом (2) получается:

$$u_0 = \frac{1}{2} E a^2 e_x^2 + s_T (1-a) e_x + \frac{1}{2} E_k (1-a)^2 e_x^2.$$

Учитывая, что при вычислении вариации потенциальной энергии деформации следует варьировать величинами e_x и a , находим:

$$d u_0 = E (e_x^2 a da + a^2 e_x de_x) + s_T [(-e_x da + (1-a) d e_x)] + E_k [-e_x^2 (1-a) da + (1-a)^2 e_x de_x]. \quad (11)$$

Используя (2), вычисляем:

$$da = -\frac{s_T}{E e_x^2} de_x = -\frac{a}{e_x} de_x. \quad (12)$$

Подставляя выражение (12) в (11), получаем:

$$d u_0 = s_T de_x + E_k (1-a) e_x de_x. \quad (13)$$

Используя равенство (3), соотношение (13) можно представить в виде:

$$d u_0 = E^* e_x de_x. \quad (14)$$

Аналогично, при возникновении деформации сдвига:

$$d u_0 = G^* g dg. \quad (15)$$

Напряженно-деформированное состояние стержневой конструкции определяется из вариационного уравнения Лагранжа:

$$dU - dW = 0. \quad (16)$$

В данном выражении δU – вариация потенциальной энергии деформации стержневой системы; δW – вариация работы внешних сил.

При определении перемещений стержневой системы из условия (16), используется методика, изложенная в [1].

Для конструкции из линейно-упрочняющего материала:

$$dU = \int_l \left[\iint_A (E^* e_x de_x + G^* g_{xy} dg_{xy} + G^* g_{xz} dg_{xz}) \right] dx, \quad (17)$$

где

$$e_x = \frac{du_1}{dx} - y \frac{df_3}{dx} + z \frac{df_2}{dx}, \quad g_{xy} = \frac{du_2}{dx} - f_3 - z \frac{df_1}{dx}, \quad g_{xz} = \frac{du_3}{dx} + f_2 + z \frac{df_1}{dx}. \quad (18)$$

Подставляя (18) в (17), после преобразований получим:

$$dU = \int_l \left[\iint_A \Phi_1(x, y, z) dA \right] dx. \quad (19)$$

Здесь

$$\begin{aligned} \Phi_1(x, y, z) = & E^* \left(\frac{du_1}{dx} - y \frac{df_3}{dx} + z \frac{df_2}{dx} \right) d \frac{du_1}{dx} + G^* \left(\frac{du_2}{dx} - f_3 - z \frac{df_1}{dx} \right) d \frac{du_2}{dx} + \\ & + G^* \left(\frac{du_3}{dx} + f_2 + y \frac{df_1}{dx} \right) d \frac{du_3}{dx} + G^* \left(-z \left(\frac{du_2}{dx} - f_3 \right) + (z^2 + y^2) \frac{df_1}{dx} + y \left(\frac{du_3}{dx} + f_2 \right) \right) d \frac{df_1}{dx} + \\ & + E^* \left(z \frac{du_1}{dx} - yz \frac{df_3}{dx} + z^2 \frac{df_2}{dx} \right) d \frac{df_2}{dx} + G^* \left(\frac{du_3}{dx} + f_2 + y \frac{df_1}{dx} \right) d f_2 + \\ & + E^* \left(-y \frac{du_1}{dx} + y^2 \frac{df_3}{dx} - yz \frac{df_2}{dx} \right) d \frac{df_3}{dx} + G^* \left(-\frac{du_2}{dx} + f_3 + z \frac{df_1}{dx} \right) d f_3. \end{aligned} \quad (20)$$

После интегрирования по площади A поперечных сечений стержней условие (16), с учетом (20), принимает вид:

$$\int_l \Phi_1(x) dx = dW, \quad (21)$$

где

$$\begin{aligned}
 \Phi_1(x) = & E^* \left(A \frac{du_1}{dx} - S_z \frac{df_3}{dx} + S_y \frac{df_2}{dx} \right) d \frac{du_1}{dx} + G^* \left(A \frac{du_2}{dx} - Af_3 - S_y \frac{df_1}{dx} \right) d \frac{du_2}{dx} + \\
 & + G^* \left(A \frac{du_3}{dx} + Af_2 + S_z \frac{df_1}{dx} \right) d \frac{du_3}{dx} + G^* \left(-S_y \left(\frac{du_2}{dx} - f_3 \right) + (J_y + J_z) \frac{df_1}{dx} + S_z \left(\frac{du_3}{dx} + f_2 \right) \right) d \frac{df_1}{dx} + \\
 & + E^* \left(S_y \frac{du_1}{dx} - J_{yz} \frac{df_3}{dx} + J_y \frac{df_2}{dx} \right) d \frac{df_2}{dx} + G^* \left(A \left(\frac{du_3}{dx} + f_2 \right) + S_z \frac{df_1}{dx} \right) df_2 + \\
 & + E^* \left(-S_z \frac{du_1}{dx} + J_z \frac{df_3}{dx} - J_{yz} \frac{df_2}{dx} \right) d \frac{df_3}{dx} + G^* \left(-A \left(\frac{du_2}{dx} - f_3 \right) + S_y \frac{df_1}{dx} \right) df_3; \\
 dW = & \int_{l_q} (\tilde{q}_1 d\tilde{u}_1 + \tilde{q}_2 d\tilde{u}_2 + \tilde{q}_3 d\tilde{u}_3) dl + \sum_{i=1}^l (\tilde{F}_{1i} d\tilde{u}_1(x_i) + \tilde{F}_{2i} d\tilde{u}_2(x_i) + \tilde{F}_{3i} d\tilde{u}_3(x_i)) + \\
 & + \sum_{j=1}^J (M_{1j}^{\phi} \phi_{1j}^{\phi}(x_j) + M_{2j}^{\phi} \phi_{2j}^{\phi}(x_j) + M_{3j}^{\phi} \phi_{3j}^{\phi}(x_j)).
 \end{aligned}
 \tag{22}$$

Здесь $A, S_y, S_z, J_y, J_z, J_{yz}$ – геометрические характеристик сечений элементов стержневой системы; $\tilde{q}_1, \tilde{q}_2, \tilde{q}_3, \tilde{F}_{1i}, \tilde{F}_{2i}, \tilde{F}_{3i}, M_{1j}, M_{2j}, M_{3j}$ – проекции распределенных и сосредоточенных нагрузок на координатные оси $\tilde{O}\tilde{x}, \tilde{O}\tilde{y}, \tilde{O}\tilde{z}$; $\tilde{u}_1, \tilde{u}_2, \tilde{u}_3, \phi_{1j}, \phi_{2j}, \phi_{3j}$ – компоненты вектора перемещения и углов поворота поперечных сечений, определяемых в глобальной системе координат $\tilde{O}\tilde{x}\tilde{y}\tilde{z}$.

Для нахождения геометрических характеристик поперечных сечений элементов стержневой конструкции $A, S_y, S_z, J_y, J_z, J_{yz}$ используется численное интегрирование [1, 4].

При определении напряженно-деформированного состояния конструкции с учетом упругопластических деформаций, расчеты необходимо выполнять итерационным методом. На первом шаге итерации в выражении (19) полагается $\alpha = 1$ и размер зоны пластических деформаций $A_{пл} = 0$. Далее, на последующих итерациях, в точках поперечного сечения проверяется выполнение условия $\sigma_x < \sigma_T$. Если это условие выполняется, то $\alpha = 1$ и в данной точке сечения деформации являются упругими. В случае, когда $\sigma_x \geq \sigma_T$, данная точка относится к области пластических деформаций, следовательно $\alpha < 1$. Величина коэффициента α находится по формуле (4).

Итерационный процесс завершается в том случае, если будет выполнено условие:

$$\left(\left| e_{\max}^{(n)} - e_{\max}^{(n-1)} \right| / e_{\max}^{(n)} \right) \cdot 100\% \leq \Delta,$$

где Δ – заданная величина погрешности, $e_{\max}^{(n)}, e_{\max}^{(n-1)}$ – максимальные относительные деформации в сечениях элементов стержневой системы на двух последующих итерациях.

С использованием описанной методики были решены различные задачи изгиба и растяжения-сжатия стержней при упругопластических деформациях. Полученные расчетные данные хорошо согласуются с известными аналитическими решениями.

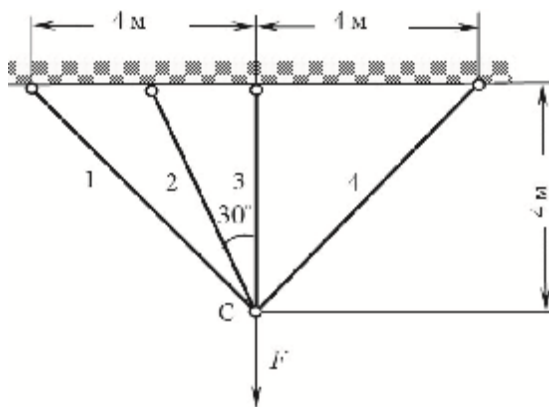


Рис. 2. Стержневая система

Представим результаты расчетов статически неопределимой стержневой системы (рис. 2), полученные по описанной методике. Система нагружена силой F , и состоит из

четырёх стержней с одинаковой площадью поперечного сечения $A = 1 \text{ см}^2$, выполненные из одного материала, для которого $\sigma_T = 240 \text{ МПа}$, $E = 2 \cdot 10^5 \text{ МПа}$, $E_k = 0$. Так как $E_k = 0$, то деформирование каждого из стержней описывается диаграммой идеально упругопластического материала (рис. 3). В результате расчетов находилась величина предельной нагрузки $F_{пр}$, при действии которой стержневая система теряет несущую способность. Полагалось $\Delta = 0,001$.

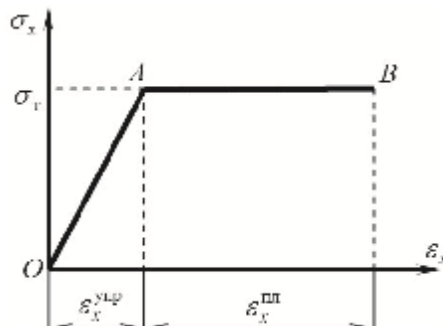


Рис. 3. Диаграмма идеально упругопластического материала

В соответствии с точным решением [10], при $F = F_{упр}$ деформации в стержнях являются упругими, а усилия в стержнях получаются следующими: $N_1 = 0,134F_{упр}$, $N_2 = 0,261F_{упр}$, $N_3 = 0,454F_{упр}$, $N_4 = 0,319F_{упр}$.

Наиболее нагруженным является третий стержень. При $F_{упр} = 52,863 \text{ кН}$ усилие в наиболее нагруженном стержне достигает своего предельного значения $N_3 = \sigma_T A$. Предельное состояние стержневой системы наступает при $N_2 = N_3 = N_4 = \sigma_T A$. В этом случае усилие в первом стержне $N_1 = 0,293\sigma_T A$, а предельная нагрузка, согласно [10], $F_{пр} = 66,725 \text{ кН}$.

При проведении расчетов по представленной здесь методике для определения предельной нагрузки использовалось пошаговое нагружение системы. На первом шаге полагалось, конструкция нагружалась наибольшей силой $F_{упр} = 52,863 \text{ кН}$ при которой деформации в стержнях остаются упругими. Далее, до достижения предельного состояния, шаг нагрузки принимался равным $\Delta F = 1,4725 \text{ кН}$. По результатам расчетов получен график изменения вертикального перемещения узла C стержневой системы в зависимости от величины нагрузки F (рис. 4). С использованием этих данных можно определить предельную нагрузку, которая будет соответствовать горизонтальному (почти горизонтальному) участку графика AB (рис. 4). На этом горизонтальном участке нет однозначного соответствия между w_C и F . Эта особенность отражает тот факт, что для идеально упругопластического материала при достижении предела текучести нет однозначного соответствия между σ и ϵ (линия AB на рис. 3). Поэтому при наступлении в стержневой системе предельного состояния также не будет однозначного соответствия между предельной нагрузкой и перемещениями в системе.

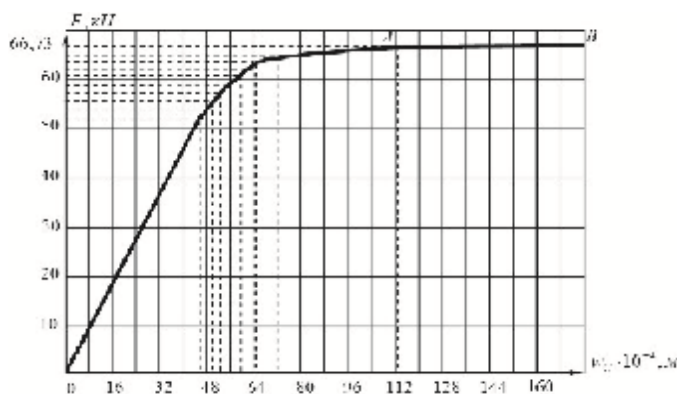


Рис. 4. Зависимость вертикального перемещения узла C от силы

При расчетах в качестве предельной нагрузки принимается такое значение силы F , для которого на очередном шаге нагружения для малого приращения нагрузки ΔF получается достаточно значительное возрастание величины перемещения (по сравнению с приращением, полученным на предыдущем шаге).

В рассматриваемом случае (рис. 4), нагрузке $F = 65,26 \text{ кН}$ соответствует перемещение $w_c = 73 \cdot 10^{-4} \text{ м}$, а нагрузке $F = 66,73 \text{ кН}$ соответствует $w_c = 114 \cdot 10^{-4} \text{ м}$. Следовательно, на этом шаге нагружения, увеличение силы на величину $\Delta F = 1,4725 \text{ кН}$ (на 2,3 %) приводит к значительному возрастанию (более чем на 55 %) перемещения w_c . На предыдущих шагах нагружения такого не наблюдается. Поэтому в качестве значения предельной нагрузки принимается $F_{пр} = 66,73 \text{ кН}$. Эта величина практически совпадает со значением $F_{пр}$, определенным аналитическим методом [10].

В таблице представлены результаты расчетов предложенным вариационным и аналитическим методом [10]. Как видно из числовых данных, результаты этих расчетов различаются очень незначительно.

Таблица

Результаты расчетов различными методами

Метод расчета	Усилия в стержнях в предельном состоянии, кН				Деформации стержней, м				Предельная нагрузка $F_{пр}$, кН
	N_1	N_2	N_3	N_4	Δl_1	Δl_2	Δl_3	Δl_4	
Аналитич. метод	7,029	24,0	24,0	24,0	0,0199	-0,0055	-0,0113	-0,014	66,725
Вариацион. метод	7,037	24,0	23,95	23,95	0,0199	-0,0055	-0,0113	-0,014	66,730

График на рис. 4 наглядно иллюстрирует одно из достоинств представленной методики расчета, которая предполагает разделение продольной деформации стержня на упругую и пластическую часть (1) и введение коэффициента α , определяющий части этих деформаций (2), (4). В результате, на основе расчетов получаются графики, позволяющие, в частности, определять для стержневых конструкций из идеально упругопластического материала предельную нагрузку. Как известно, в случае использования традиционных методик расчета, информацию о величине предельной нагрузки получают только на основе аварийного останова компьютерного счета. Информация о деформировании системы в виде графиков подобных графику на рис. 4, является более надежной, чем аварийный останов компьютерного счета.

Список библиографических ссылок

1. Серазутдинов М. Н., Убайдуллоев М. Н. Вариационный метод расчета прямолинейных и криволинейных тонкостенных стержней. Казань : Мин. обр. и науки России. Казан. нац. исслед. технол. ун-т, 2016. 144 с.
2. Серазутдинов М. Н., Убайдуллоев М. Н., Сагдатуллин М. К. Вариационный метод расчета напряженно-деформированного состояния тонкостенного стержня открытого профиля // Вестник Казанского технол. ун-та. 2014. № 8. С. 255–260.
3. Серазутдинов М. Н., Убайдуллоев М. Н., Абрагим Х. А. Вариационный метод расчета стержневых систем при пластических деформациях : сб. трудов Международной научно-технической и образовательной конференции «Образование и наука – производству» / КГИЭА, Набережные Челны, 2010. С. 43–46.
4. Серазутдинов М. Н., Убайдуллоев М. Н., Абрагим Х. А. Повышение несущей способности усиливаемых нагруженных конструкций // Строительная механика инженерных конструкций и сооружений. 2011. № 3. С. 23–30.
5. Nagy-Györgya T., Sasb G., Dăescu A.C., Stoian V. Experimental and numerical assessment of the effectiveness of FRP-based strengthening configurations for dapped-end RC beams // Engineering Structures. 2012. Т. 33, Т. 44. P. 291–303.
6. Iskhakov I., Ribakov Y. Ultimate limit state of pre-stressed reinforced concrete elements // Materials & Design. 2015. Т. 75. P. 9–16.
7. Убайдуллоев М. Н. Повышение несущей способности эксплуатируемых сооружений // Строительство уникальных зданий и сооружений. 2013. № 4 (9). С. 64–122.

8. Валиуллин А. Х. Упругопластический изгиб балки из материала с линейным упрочнением // Вестник Казанского технологического университета. 2010. № 9. С. 453–458.
9. Валиуллин А. Х. Упругопластический изгиб балки // Вестник Казанского технологического университета. 2013. № 21. С. 221–224.

Serazutdinov M.N. – doctor of physical and mathematical sciences, professor

E-mail: serazmn@mail.ru

Ubaidulloyev M.N. – candidate of technical sciences, associate professor

E-mail: madgidpwn@rambler.ru

Kazan National Research Technological University

The organization address: 420015, Russia, Kazan, K. Marks st., 68

Calculation of rod structures from reinforcing and ideally elastic-plastic materials

Problem statement. The purpose of this work is the development of a variational method for calculating a rod structure taking into account plastic deformations. It is assumed that when the rods are deformed, the relationship between the normal stresses and the longitudinal deformation of a rod is described by the diagram of a linearly strengthening body.

Results. A variational method has been developed for calculating the rod structures from a reinforcing and ideally elastic-plastic material. The presented calculation technique is based on the separation of longitudinal deformation of a rod into two parts: elastic and plastic. The advantages of this approach consist in the fact that it is possible to carry out calculations for rod structures from a reinforced and ideal elastic-plastic material according to a single scheme. In particular, these advantages are manifested when determining the ultimate load for a system of perfectly elasto-plastic material.

Conclusions. Using the described technique, various problems of bending and stretching-compression of rods for elasto-plastic deformations were solved. In this article presents the results of calculations of a statically indeterminate rod system. The obtained calculated data are in good agreement with known analytical solutions.

Keywords: rod structures, variational method, elasto-plastic deformations, ultimate load.

References

1. Sezrutdinov M. N., Ubaidulloev M. N. Variational method for calculating rectilinear and curvilinear thin-walled rods. Kazan : Ministry of Education and Science of Russia. Nat. Research Technol. Un-t., 2016. 144 p.
2. Sezrautdinov M. N., Ubaidulloev M. N., Sagdatullin M. K. Variational method for calculating the stress-strain state of a thin-walled rod of an open profile // Vestnik Kazanskogo tekhnol. un-ta. 2014. № 8. P. 255-260.
3. Sezrutdinov M. N., Ubaidulloev M. N., Abraham Kh. A. Variational method for calculating rod systems under plastic deformations : dig. of art. International Scientific, Technical and Educational Conference «Education and Science to Production» / KGIEA, Naberezhnye Chelny, 2010. P. 43–46.
4. Seprasdinov M. N., Ubaidulloev M. N., Abraham Kh. A. Increase of load-bearing capacity of reinforced loaded structures // Construction mechanics of engineering structures and structures. 2011. № 3. P. 23–30.
5. Nagy-Györgya T., Sasb G., Dăescua A.C., Stoian V. Experimental and numerical assessment of the effectiveness of FRP-based strengthening configurations for dapped-end RC beams // Engineering Structures. 2012. T. 33, T. 44. P. 291–303.
6. Iskhakov I., Ribakov Y. Ultimate limit state of pre-stressed reinforced concrete elements // Materials & Design. 2015. T. 75. P. 9–16.
7. Ubaidulloev M. N. Increase of bearing capacity of operated structures // Construction of unique buildings and structures. 2013. № 4 (9). P. 64–122.
8. Valiullin A. Kh. Elastic-plastic bending of the beam from a material with linear hardening // Vestnik Kazanskogo tekhnol. un-ta. 2010. № 9. P. 453–458.
9. Valiullin A. Kh. Elastic-plastic bending of the beam // Vestnik Kazanskogo tekhnol. un-ta. 2013. № 21. P. 221–224.